

# 华为第一届领航杯应用数学大赛

## 低功耗自适应 FIR 滤波硬件算法

柴昊、李明昊、王熙元

复旦大学  
南京大学

2023.9.20

# 目录

1 理论回顾

2 算法实现与创新

3 后续计划

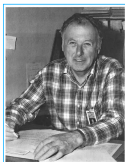
4 致谢

## 理论回顾

# 快速 Fourier 变换 (FFT) 处理器算法

一种浮点 FFT 流处理器：基于冗余计算和折叠架构的浮点运算蝶形阵列

Cooley 和 Tukey 是 Princeton 的两位数学家和计算机科学家，他们首先设计出离散傅立叶变换算法 (Discrete Fourier Transformation/ Fast Fourier Transformation, DFT/FFT)。时间复杂度可以达到  $O(n \ln n)$ 。此方式适用于  $n = 2^m$ 。对于  $n \neq 2^m$  的多项式乘法或卷积，总可以通过引入先导零/占位的方式约化到  $n = 2^m$  的情形，由于  $k$  和  $2k$  之间必然有一个 2 的次幂，理论上快速傅立叶变换的时间复杂度不会超过  $O(2n \ln n)$ 。另外 Cooley-Tukey 的变形中会处理  $N_1 N_2$  阶数 FFT，通常分解为  $N_1$  个  $N_2$  阶 FFT 处理 ( $N_1 \ll N_2$ )。



(a) James Cooley



(b) John Tukey

图: 发明第一个 FFT 算法的数学家及计算科学家

# 冗余计算加速算法

基四最小冗余混合加法 (mrHY4A)

## 算法架构简介

本项目选用了基四最小冗余 (Minimal Redundant Radix-4, mr4) 方案, 对于任意一个  $2n$  二进制位的整数  $X \in \mathbb{Z}$ , 其 mr4 冗余表达式为:

$$X = \sum_{i=0}^{i=n-1} [x_i]4^i, \quad [x_i] \in \{-2, -1, 0, 1, 2\}$$

而数位  $[x_i]$  用三个 bit  $(x_i^{-2}, x_i^{+}, x_i^{++}) \in \{0, 1\}^3$  表示为

$$[x_i] = -2x_i^{-2} + x_i^{+} + x_i^{++}$$

其优势至少体现在以下三点。

- 冗余示数法具有多映射的特点实现无**进位传播**的冗余加法
- 大端和小端先入结构的硬件优势
- mr4 冗余表示不需要符号位

# 与无优化算法对比

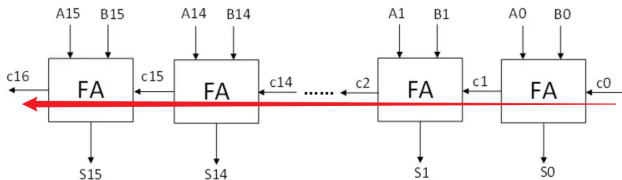


图: 非冗余计算形式

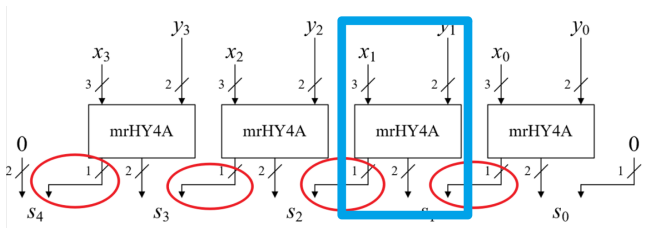


图: 冗余 4 计算形式

# 算法实现与创新





# 优化思路二

通过蝶形运算 Folding 架构

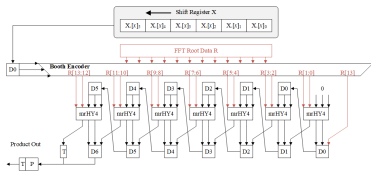


图: mr4HY 串行乘法器

好处: 降低绕线复杂度; 降低浮点运算复杂度; 减小并行压力。

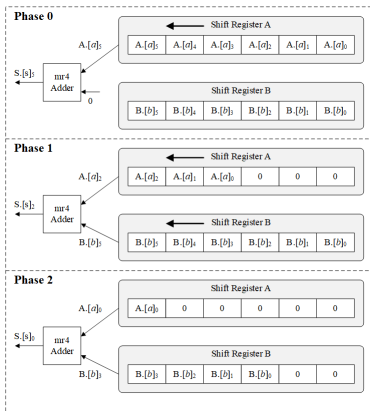
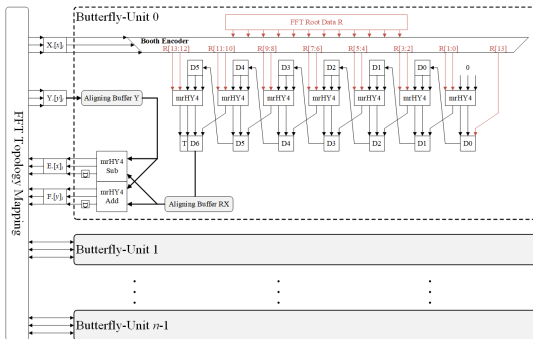


图: mr4HY 串行浮点加法器

# 流处理器工作管道



图：蝶形运算阵列

- a) 第一级流水线为冗余乘法：FFT 上一级蝶形运算输出，经过 Mapping 拓扑映射单元送往当前蝶形运算输入端，随输入数据串入，乘法执行结束，与此同时，乘法器输出逐个数位地输入 Aligning Buffer 中，便于后续冗余加减法操作；
- b) 第二级流水线为冗余浮点加减法：从 Aligning Buffer 先后输出数据被加减归约，其输出至 Mapping 单元，以便送达 FFT 下一级蝶形运算对应蝶形结输入端。

# 技术优势

本方案使用**折叠展开架构**，本质上是在 **蝶形运算并行度**和 **FFT 每级内蝶形并行个数**之间做权衡，通过内部折叠蝶形，外部展开计算阵列，完成拓扑结构的化简与计算流程的化简。

## 降低绕线复杂度的方法

- 1 采用各层同形拓扑
- 2 采用 Digital Serial 处理结构

## 其他设计收益

- 1 冗余串行算法降低浮点运算复杂度
- 2 大端输入减小系统延迟
- 3 流处理结构的控制逻辑非常简单

进一步的优化思路：可以利用 Twiddle factor 常数乘法的特点，对串行乘法器做进一步简化。

# 性能比较

基于 Xilinx Artix-7 仿真系统数据

表 2: FFT-based FIR or Polynomial Multiplication Implementation Results and Comparison

| Work <sup>1</sup>              | # LUTs | # FFs  | # DSPs | # BRAMs <sup>2</sup> | # Slices <sup>3</sup> | Frequency (MHz) | Latency (cc) | Time ( $\mu s$ ) | ATP (# SEC <sup>4</sup> $\times \mu s$ ) |
|--------------------------------|--------|--------|--------|----------------------|-----------------------|-----------------|--------------|------------------|--|
| <a href="#">2021, Chen</a>     | 533    | 514    | 1      | 1.5                  | 198 *                 | 246             | 1030         | 4.18             | 2,499                                    |
| <a href="#">2021, B, N</a>     | 360    | 145    | 3      | 2                    | 187                   | 115             | 940          | 9.32             | 8,267                                    |
| <a href="#">2021, B, N</a>     | 737    | 290    | 6      | 4                    | 371                   | 115             | 474          | 4.68             | 8,288                                    |
| <a href="#">2021, Guo</a>      | 1,549  | 788    | 4      | 2 <sup>5</sup>       | 635                   | 159             | 228          | 1.43             | 2,052                                    |
| <a href="#">2021, Ma</a>       | 5,181  | 4,833  | 16     | 0                    | 1,468                 | 227             | 143          | 0.63             | 1,933                                    |
| <a href="#">2021, Yarman-1</a> | 948    | 352    | 1      | 2.5                  | 281 *                 | 190             | 904          | 4.76             | 4,194                                    |
| <a href="#">2021-4</a>         | 2,543  | 792    | 4      | 9                    | 735 *                 | 182             | 232          | 1.27             | 3,727                                    |
| <a href="#">2021-16</a>        | 9,508  | 2,684  | 16     | 35                   | 2,713 *               | 172             | 69           | 0.40             | 4,525                                    |
| <b>Ours</b> $N = 64$           | 3,120  | 3,224  | 0      | 0                    | 910                   | 200             | 56           | 0.28             | 254.8                                    |
| <b>Ours</b> $N = 128$          | 6,250  | 6,718  | 0      | 0                    | 1,975                 | 177             | 64           | 0.36             | 714.1                                    |
| <b>Ours</b> $N = 256$          | 13,447 | 14,002 | 0      | 0                    | 4,122                 | 162             | 72           | 0.44             | 1813.7                                   |

<sup>1</sup> All of the related works evaluate their designs on Xilinx Artix-7.

<sup>2</sup> 36Kb BRAM slices.

<sup>3</sup> For works that do not provide #Slices (marked by \*), #Slices is approximated by  $\#LUTs \times 0.25 + \#FFs \times 0.125$  [xilinx7series](#).

<sup>4</sup>  $\#SEC = \#BRAMs \times 200 + \#DSPs \times 100 + \#Slices$ .

<sup>5</sup> Number of BRAMs used during the polynomial multiplication.

• “Ours” stands for our team project performance.

图: 本团队工作和其他已知算法的性能比较

## 后续计划

# 基于量化感知进行信号预测和自适应处理

通过 OpenNN C++ 神经网络框架

使用 OpenNN 神经网络框架搭建量化感知算法

回顾上部分的 Twiddle Factor 近似技术加速硬件运算

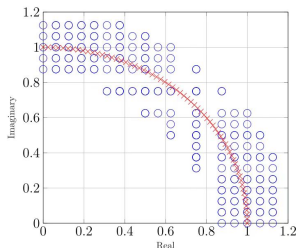


Fig. 2. Quantized twiddle factors: red cross markers are the exact twiddle factors, blue circles are the alphabet of complex numbers with a maximum of two nonzero digits in CSD representation of each real and imaginary part.

图: 近似 FFT 与 Twiddle Factor

# 基于此高效 FFT 流处理器的降噪/变频算法

基于不同应用场景

## ■ 射频波段的频率俘获/提纯硬件算法:

具体理论来自数字信号处理/小波分析

## ■ 全频带的自适应信号预测:

将主要基于此次竞赛实现的流信号处理器, 使用贝叶斯网络或智能 Pid 控制策略设计算法

## ■ 声学波段的主动降噪算法:

希望可以开发出能使用在蓝牙耳机/通话系统等硬件的降噪功能模块上

最后, 此项工作也有更深层次的理论意义, 即开发更快的浮点乘法和 Fourier 变换运算器。这在图像处理, 数值计算等领域都是重要的。

# 致谢



# 报告结束 感谢聆听